DOI: 10.3969/j.issn.0253-9608.2021.03.003

红藻藻胆体的结构及关键色素分析

肖亚男^①,马建飞^{②†},游鑫^②,隋森芳^{①②††}

①南方科技大学 生命科学学院, 广东 深圳 518055; ②清华大学 生命科学学院, 北京 100084

摘要 藻胆体是红藻和蓝藻中的大型水溶性捕光复合体,能吸收较宽范围波长的可见光,能量传递效率高于95%。目前解析 的高分辨率藻胆体来自红藻Griffithsia pacifica(太平洋凋毛藻)和Porphyridium purpureum(紫球藻),在这两个物种中获得 了藻胆体完整的蛋白结构,确定了所有连接蛋白的结构和分布,并且在Porphyridium purpureum藻胆体的结构中发现连接 蛋白具有调节藻胆蛋白色素能量状态的作用。文章将针对藻胆体的整体结构和关键色素的微环境进行分析。

关键词 藻胆体;连接蛋白;色素;能量传递;光合作用

光合作用是地球上最重要的化学反应之一, 光合作用的第一步便是光能的吸收与传递[1-2]。为了 有效地吸收光能,生活在不同环境中的生物进化出 各种捕光系统^[3], 其中捕光复合体(light-harvesting complexes, LHCs)主要存在于绿藻和高等植物中, 而藻胆体(phycobilisome, PBS)是位于蓝藻和红藻 类囊体膜基质侧表面的大型水溶性捕光复合体,分 子量为3~18 MDa [4-8]。

藻胆体能吸收较宽范围波长(490~650 nm)的 光能,将能量传递给光合作用的反应中心,继而驱 动光合电子传递[9-11]。藻胆体的吸收光谱恰好与叶 绿素a (最大吸收为440 nm和670 nm)互补, 使得藻 类在几乎整个可见光区都有光吸收[9-10]。由于水中的 光照条件不同,例如深水区充满了蓝绿色的光,藻 胆体的捕光能力对于水生生物十分重要[12]。

最初,科研人员在红藻Porphyridium cruentum的类囊体膜基质侧发现一些小颗粒,并 且在层状膜上具有高度有序的空间排列, 经过生 化分析、电子显微镜观察及分离纯化等研究,证 明这些小颗粒主要由3种藻胆蛋白组成,因此后 来将其命名为藻胆体[13-15]。

目前研究者发现主要存在以下几种形状的 藻胆体: 半圆盘形(存在于许多蓝藻中) [6,16]、半 椭圆形(存在于许多红藻中)[6,17]、块型[8,18]和束 型[19]。另外,还在含有叶绿素d的蓝藻中发现一 种不常见的杆状藻胆体[20-21]。

自20世纪60年代发现藻胆体以来,藻胆体的 结构研究历程主要分为以下三个阶段[22]: 20世纪90 年代之前主要通过负染透射电镜进行藻胆体的低 分辨形态学研究;90年代中期至21世纪初,主要通 过X射线晶体学进行藻胆体的组分——藻红蛋白、 藻蓝蛋白、别藻蓝蛋白、连接蛋白等的晶体结构研 究,代表性成果为我国科学家梁栋材课题组等解 析的红藻Polysiphonia urceolata的R-PC的2.4 Å^[23] 和R-PE的1.9 Å晶体结构[24],以及张玉忠、吴嘉 炜课题组合作解析的蓝藻Synechocystis sp. PCC 6803 L_R的N末端的1.9 Å晶体结构等^[25]; 21世纪 初,随着单颗粒冷冻电镜等生物物理技术的发 展,利用三维重构解析藻胆体高分辨结构成为可 能。我们课题组与中国科学院植物研究所匡廷云

†通信作者,研究方向:藻胆体的结构、功能与应用,冷冻电镜结构生物学。E-mail: sddymjf@126.com

††通信作者,中国科学院院士,研究方向:蛋白质及生物膜的结构与功能,冷冻电镜结构生物学。

E-mail: suisf@mail.tsinghua.edu.cn

院士课题组较早开展这方面工作,合作解析了 第一个蓝藻Nostoc flagelliforme藻胆体的冷冻电 镜三维结构[26]。之后,我们课题组与北京大学赵 进东院士课题组合作完成了另一株蓝藻Anabaena sp. strain PCC 7120的负染电镜三维重构[27]。然 而,由于当时冷冻电镜条件和单颗粒三维重构 方法等的限制,以上两个蓝藻结构只解析到中 等分辨率。在长期探索的基础之上,随着2013 年以来冷冻电镜技术的突破, 我们课题组选择 两种红藻——Griffithsia pacifica(太平洋凋毛藻) 和Porphyridium purpureum(紫球藻)为研究对象 解析了两种藻胆体的高分辨率冷冻电镜结构, 分辨率分别为3.5 Å和2.8 Å^[8, 28]。两种红藻的藻 胆体结构相似,而P. purpureum的藻胆体分辨率 更高,因而我们将主要以此来介绍藻胆体的结 构及特征。

1 藻胆体的亚基组成及性质

藻胆体是一个结构复杂的超级复合体,由藻胆蛋白(phycobilinproteins, PBPs)和连接蛋白(linker protein)两种组分组成。

1.1 藻胆蛋白

藻胆体中藻胆蛋白质量分数为85%左右,结合色素,主要用于捕获光能。藻胆蛋白有两个同源亚基α和β,每个亚基的分子量为15~20 kDa (160~165个氨基酸)。α和β亚基形成一个异源二聚体(αβ),通常称为(αβ)单体,随后主要通过疏水作用力组装成稳定的(αβ)₃三聚体,作为藻胆体逐级组装的基本单位^[6,29]。通常每个亚基结合1~3个开链四吡咯环的藻胆色素,色素A环或D环通过硫醚键与序列保守的半胱氨酸残基共价结合^[26,30]。水溶性藻胆蛋白占细胞内可溶性蛋白质量分数的一半以上,同时也可作为氮源储存^[31-32]。

存在于红藻G. pacifica和P. purpureum藻胆体中的色素有藻红胆素(PEB)、藻尿胆素(PUB)和藻蓝胆素(PCB)三种,其中PUB是PEB的双键异构体^[9]。色素的双键共轭变化导致色素能级的改变,使它们吸收不同波长的光并按能量从高到低传递。

根据色素能级不同,可以将藻胆蛋白分为以下

几种: 藻红蛋白(PE), 位于杆的远核端, 结合PEB, 同时也可以结合PUB, 吸收490~550 nm的蓝光、绿光和黄光; 藻蓝蛋白(PC), 位于杆的近核端, 结合PEB和PCB, 吸收620~630 nm的红光; 别藻蓝蛋白(APC), 是核的主要成分, 结合PCB, 吸收650 nm的红光^[4, 33-34]。α和β亚基在PC、PE和APC之间也是同源的^[16], 因此, 虽然不同藻胆蛋白具有不同的吸收光谱, 但它们具有相似的晶体结构^[27,35-36]。

核APC有几种特殊的亚基,氨基酸序列发生变化,如 α^{Lcm} (L_{CM} 的类 α^{APC} 结构域,由apcE基因编码, L_{CM} 包括结合色素的 α^{Lcm} 结构域和几个linker结构域),类 α^{APC} /ApcD($\alpha^{\text{AP-B}}$,由apcD编码),类 β^{APC} /ApcF变体($\beta^{\text{18.5}}$,由apcF编码)(6,27,37]。ApcD、 α^{Lcm} 和ApcF亚基中都各结合一个藻蓝胆素。普通的APC亚基最大发射峰为660 nm,而ApcD和 α^{Lcm} 的最大发射峰为680 nm,因此被称为能量末端发射受体(terminal emitters)(38-40]。ApcD、ApcF和 α^{Lcm} 的结构与APC的 α 和 β 亚基相似,但不完全相同,蛋白的带电性也不同(41)。

1.2 连接蛋白

藻胆体中的连接蛋白大多为无色,也有的连接蛋白结合色素,但是不属于藻胆蛋白的α和β亚基,通常称为γ亚基。γ亚基并不普遍存在,仅存在于少数海洋蓝藻和红藻中^[9,40]。连接蛋白占藻胆体质量的15%左右,参与藻胆蛋白的空间排列和功能调节,进而组装成藻胆体高效的捕光系统^[9]。

根据功能和位置,连接蛋白分为以下几种:杆连接蛋白 L_R ,参与杆的组装;核杆连接蛋白 L_{RC} ,参与杆与核之间的连接;核连接蛋白 L_{CM} ,参与核的组装;核膜连接蛋白 L_{CM} ,参与核的组装 $^{[6,40]}$ 。在 L_{CM} 的类 α^{APC} 结构域 α^{LCM} 插入有一段loop (称作PB-loop) $^{[38]}$,目前认为与类囊体膜内的光系统相互作用。

连接蛋白中有两种保守结构域Pfam00427和Pfam01383,参与杆和核的组装,并广泛存在于多种连接蛋白中^[9]。根据蛋白的结构域,红藻中的连接蛋白 L_R 和 L_{RC} 可以进一步分为几类(图1)。

杆连接蛋白LR可分为三类。第一类包括LR1~

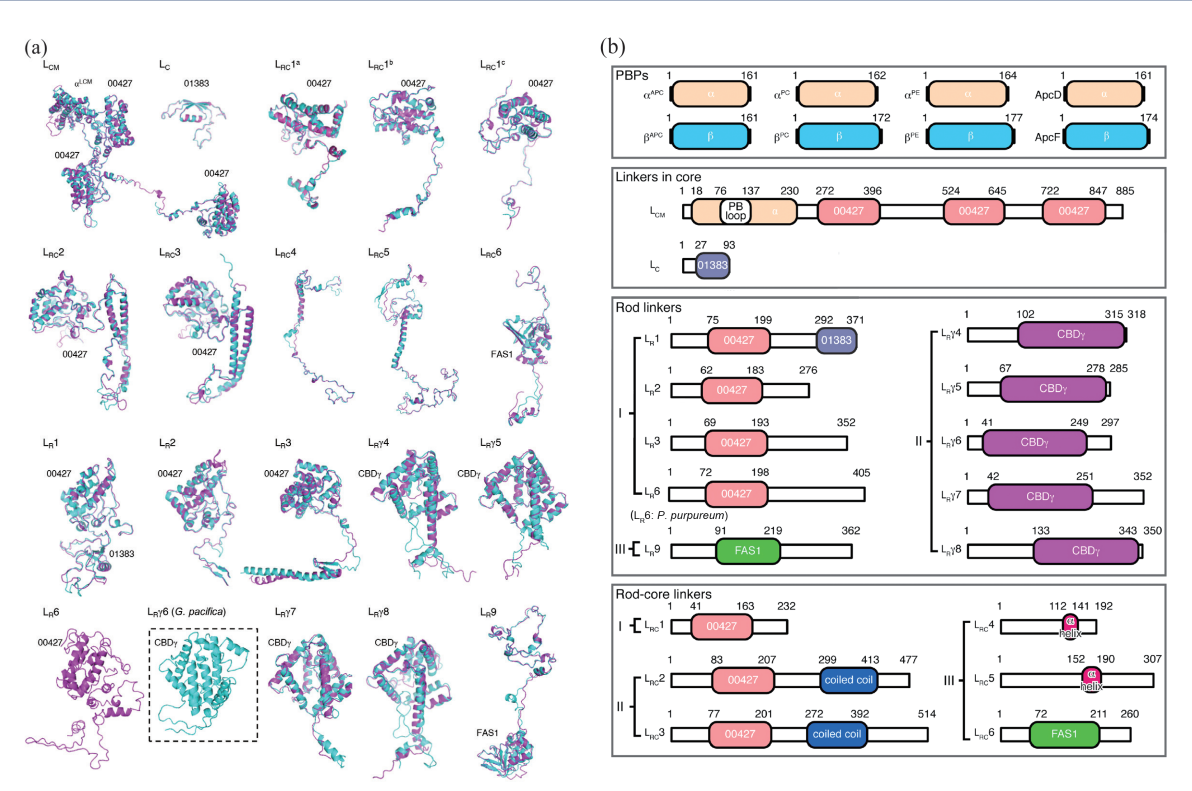


图1 红藻G. pacifica和P. purpureum藻胆体中的连接蛋白的结构对比图及示意图。(a)红藻G. pacifica和P. purpureum藻胆体中 连接蛋白的结构对比图。图中玫红色的连接蛋白来自P. purpureum,浅蓝色连接蛋白来自G. pacifica。(b) G. pacifica和 P. purpureum中连接蛋白的结构示意图。图中数字标记了结构域的位置,除 L_R 6来自P. purpureum外,其他均标记了G.pacifica连接蛋白的结构域位置(图片修改自[8,28])

L_R3,以及红藻P. purpureum的L_R6,这类连接蛋白 含有Pfam00427结构域。第二类是藻红蛋白的γ亚 基,被称为 $L_R\gamma$,包括 $L_R\gamma4$ 、 $L_R\gamma5$ 、 $L_R\gamma7$ 和 $L_R\gamma8$ 及G. pacifica的 $L_R\gamma 6$ 。这类连接蛋白含有一个之 前未被发现的、保守的色素结合域(chromophore binding domain, CBD), 结合PEB和/或PUB, 占 据PE六聚体的中心腔,从六聚体中伸出的小 螺旋或loop与相邻的连接蛋白的刚性结构域(如 Pfam00427结构域)相互作用。第三类只有L_R9, 含有与细胞黏附相关的FAS1同源结构域。

核杆连接蛋白LRC也可以分为三类。第一类 L_{RC}1,包含一个埋藏在其藻蓝蛋白六聚体中的N端 Pfam00427结构域和一个C端loop。第二类为LRC2 和L_{RC}3,它们的N端都有Pfam00427结构域,C末端 有一个卷曲螺旋基序(motif),螺旋结构中的两个螺 旋是反向平行的。第三类为LRC4、LRC5和LRC6,以 前是未知的,与其他连接蛋白的结构有很大不同。 L_{RC}4、L_{RC}5和L_{RC}6都是"中间结构域-两侧loop"组

成形式,区别在于L_{RC}4和L_{RC}5中间包含一个长α螺 旋,在LRC6中间包含一个FASI结构域。

2 藻胆体的结构

2.1 总体组成

在G. pacifica藻胆体的核中有46个APC亚基 (不包含L_{CM}), 杆中有672个PE亚基、72个PC亚 基,共有72个连接蛋白及2048个色素分子,总 分子量18.0 MDa。在P. purpureum藻胆体的核中 有46个APC亚基,杆中有528个PE亚基、72个PC 亚基, 共有60个连接蛋白及1598个色素分子, 总分子量14.7 MDa。

红藻G. pacifica和P. purpureum的藻胆体结 构相似(图2),核由三个圆柱(A、A'、B)组成, 圆柱B垛叠于底部圆柱A和A′形成的肩凹上方。 核周围有14个杆交错排列,另外还有一些单独 的六聚体、α亚基和β亚基填充在核和杆的外部

空间,这可能有助于稳定藻胆体的结构(图2(a)和(c))。*P. purpureum*的藻胆体较小,5个杆Ra、Rb、Rc、Rd和Re外侧各少一个PE六聚体及一个

连接蛋白,并且缺少He六聚体及其连接蛋白(图 $2(a)\sim(d)$)。

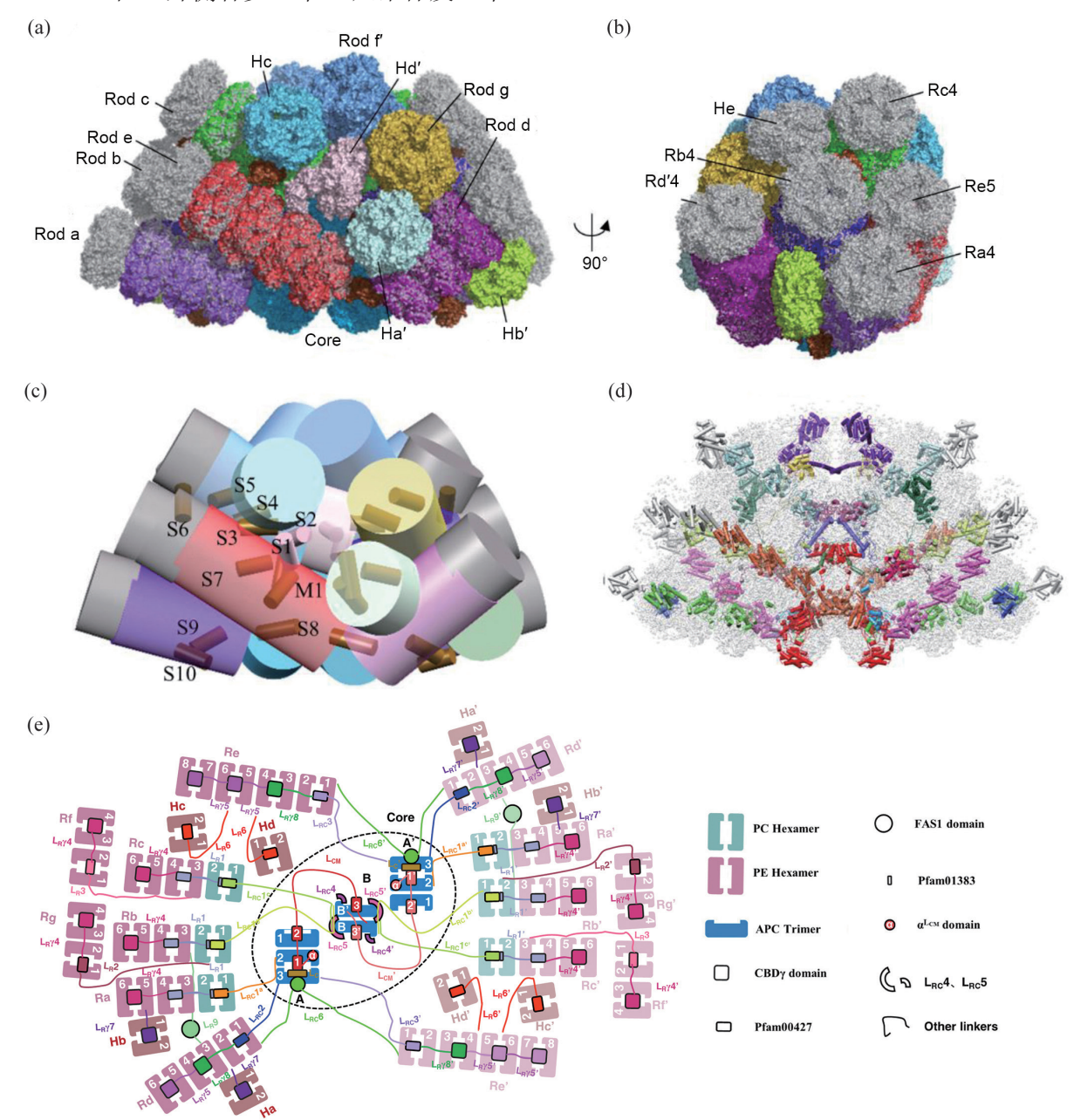


图2 红藻G. pacifica (PDB: 5y6p)和P. purpureum (PDB: 6kgx)的完整藻胆体结构比较。(a)~(b)藻胆体的整体结构比较,分别为正面视图(a)和侧面视图(b)。其中P. purpureum藻胆体的结构以彩色显示,G. pacifica藻胆体结构以灰色表示。P. purpureum藻胆体的杆Ra、Rb、Rc、Rd′、Re外侧各少一个PE六聚体,并且缺少单独的六聚体He。(c) G. pacifica和P. purpureum藻胆体中杆与核的分布示意图。所用颜色同图(a)~(b),标记了P. purpureum藻胆体中单独的PEβ亚基(S1~S10)和(αβ)单体(M1)。(d) G. pacifica和P. purpureum藻胆体中的连接蛋白骨架比较。G. pacifica藻胆体轮廓以灰色透明背底表示,P. purpureum藻胆体的连接蛋白以彩色显示,G. pacifica的连接蛋白以灰色表示。P. purpureum比G. pacifica缺少5个杆Ra、Rb、Rc、Rd′、Re和单独的六聚体He中的连接蛋白。(e) P. purpureum藻胆体的结构模式图。右侧展示了各个图形所代表的藻胆体组分(图片修改自[28])

2.2 杆的结构

红藻藻胆体共有14个杆,由PE和PC或仅由 PE组成。含有PE和PC的杆为type I, PC位于近 核端,包括Ra/Ra'、Rb/Rb'和Rc/Rc';仅含有PE 的杆为type II,包括Rd/Rd'、Re/Re'、Rf/Rf'和 Rg/Rg′, 其中10个杆较长(≥3个PE或PC-PE六聚 体), 而Rf/Rf'和Rg/Rg'这4个杆较短, 只由2节 PE六聚体组成,而且不直接与核接触(图2(e))。 连接蛋白在杆的组装中起到非常重要的作用, 其模型有两种: 互锁模型(interlocking)和分子骨 架模型(skeleton) [9, 25, 42-43]。在互锁模型中,两个 藻胆蛋白六聚体分别与一个连接蛋白的两个结 构域相互作用。这一模型没有突出连接蛋白之 间的相互作用;分子骨架模型则更加关注连接 蛋白之间特异性相互作用,认为连接蛋白形成 杆组装的骨架。

红藻藻胆体中杆的组装同时包含这两种模 型。例如, P. purpureum藻胆体的杆Ra-c (type II),由1个PC六聚体、2个PE六聚体和3个连接蛋 白LRC1、LR1和LRY4组成。PC六聚体和相邻的PE 六聚体由 L_R 1连接, L_R 1含有两个结构域: N端的 Pfam00427结构域和C端的Pfam01383结构域。这 两个结构域分别结合相邻的两个藻胆蛋白六聚 体,即L_R1按照互锁模型连接相邻的藻胆蛋白六 聚体。同时, L_R1 两端分别与 $L_{RC}1$ 和 $L_R\gamma4$ 连接, 形成杆Ra-c的骨架,这与分子骨架模型一致(图 3(a)和(b))。

总之,具有两个结构域的L₈1按照互锁模型 组装部分杆,10个较长的杆中所有连接蛋白从 近核端到远核端按照LRC-(LR1)-LRY的顺序相互 作用,4个较短的杆按照L_R2/3-L_Rγ的顺序相互 作用,从而形成杆的骨架(图2(e))。结合色素的 L_RY位于杆的远核端,可能是由于藻胆体外周的 色素密度提高有助于其增大捕光面积。第三类 杆连接蛋白L_R9具有FAS1结构域,并在C端有很 长的loop,位于杆之间,稳定与其接触的杆(图 4(a))。从整体来看,藻胆体中所有的连接蛋白按 照一定的顺序相互连接,形成藻胆体组装的骨架 (图2(d))。

2.3 核的结构

红藻藻胆体的核由三个圆柱(A、A'、B)组 成:圆柱B位于上方,两个APC三聚体B1和B2背 对背排列;圆柱A和A'各由三个APC(A1、A2、 A3/A1'、A2'、A3')组成三聚体, 其中A2/A2'和 A3/A3′面对面结合,而A1/A1′与A2/A2′背对背连 接,圆柱A和A'反向平行排列(图3(c) \sim (d))。 $\alpha^{L_{CM}}$ 和ApcF位于A2/A2'中,ApcD位于A3/A3'中(图 $3(d)\sim(f))_{\circ}$

核三聚体亚基之间的相互作用是对称的: 三聚体B1、A2与A'1相互作用,三聚体B2、A'2 与A1相互作用(图3(e))。另外,连接蛋白Lc和 L_{CM}位于APC三聚体中心的空洞中, 起到连接作 用: L_{CM}连接B1、A1和A2, L_C连接A2和A3(图 3(f))。三聚体之间的相互作用及与连接蛋白的 相互作用,可以使核保持稳定。

2.4 藻胆体的组装

红藻藻胆体中有14个杆,其中10个杆通过 连接蛋白L_{RC}1-3与核结合。L_{RC}1-3的C末端有一 个序列保守的α螺旋,通过广泛的疏水相互作 用和静电相互作用与核APC的α亚基表面的一 个凹槽(groove)结合(图 $4(c)\sim(f)$),而另一端的 Pfam00427结构域与杆结合。序列比对研究表 明,参与相互作用的L_{RC}蛋白C末端的α螺旋上的 氨基酸残基和核APC的α亚基中结合位点中的氨 基酸残基是保守的,并且在红藻和蓝细菌中均 包含疏水性或带电荷和/或极性氨基酸(图4(b)), 这说明藻胆体组装过程中,杆-核连接蛋白可能 使用一种通用机制^[8, 28]。在核中有8个三聚体(A1-A3、A'1-A'3、B1和B2), 含有20个APC的α亚基 (不包括两个α^{LcM}亚基和两个ApcD亚基)。由于一 些结合位点在核圆柱体的3个三聚体相互作用交 界处以及三聚体和类囊体膜之间,最终有12个位 点可以与 L_{RC} 结合(图4(d)、(f)): A1、A'1、A2、 A'2三聚体,以及A3、A'3、B1和B2三聚体各自 提供的两个结合位点。正常情况下,一个L_{RC}锚 定到一个结合位点,但是A1(A'1)和A2(A'2)的两 个结合位点被一个L_{RC}占据(图4(d))。因此, 12个

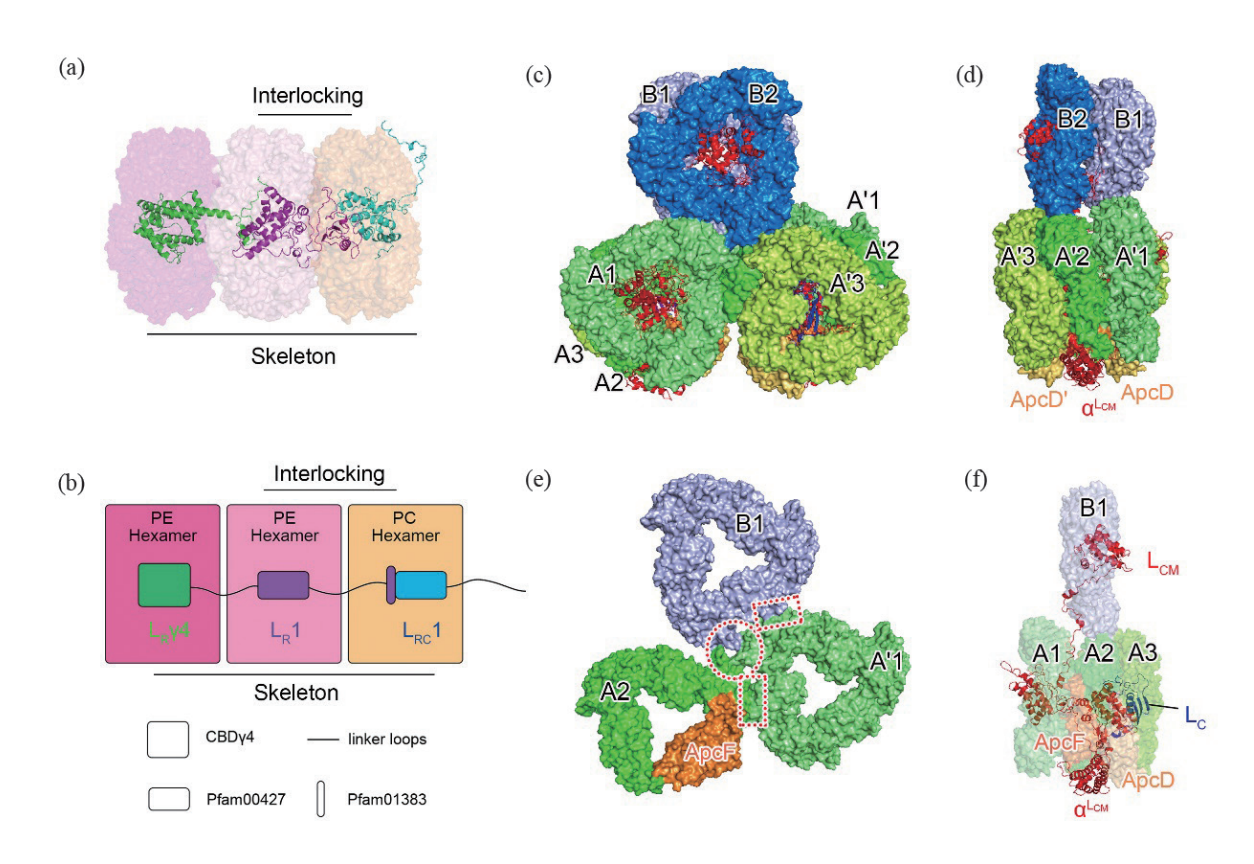


图3 藻胆体杆((a)~(b))与核((c)~(f))的组装。(a)~(b) *P. purpureum*藻胆体杆Rc的结构图(a)和模型图(b): L_R 1的两个结构域(Pfam00427结构域和Pfam01383结构域)按照互锁模型(interlocking)连接相邻PC和PE的六聚体; 同时, L_{RC} 1、 L_R 1和 L_R 74彼此相连,形成杆Ra-c的骨架(skeleton)。(c)~(d)红藻藻胆体核三聚体的排列及与连接蛋白的位置关系(其中红色为连接蛋白 L_{CM} ,蓝色为连接蛋白 L_C 1,分别为正面(c)和侧面(d)视图。(e) 核三聚体之间的相互作用,红色虚线图形标注了三聚体B1、A2和A'1之间的相互作用位点。(f) 连接蛋白在核中的位置, L_{CM} 连接B1、A1和A2, L_C 连接A2和A3 (PDB: 6kgx)

结合位点对应10个 L_{RC} ,进而对应10个杆:A1和 A2— $L_{RC}1^a$ —Ra; A'1和A'2— $L_{RC}1^a$ '—Ra'; B1— $L_{RC}1^c$ —Rc; B1— $L_{RC}1^b$ '—Rb'; B2— $L_{RC}1^b$ —Rb; B2— $L_{RC}1^c$ '—Rc'; A3— $L_{RC}2$ —Rd; A3— $L_{RC}3$ —Re'; A3'— $L_{RC}3$ —Re(B4(d))。这10个杆的连接蛋白形成的骨架,通过近核端的一点结合着核表面的这12个保守位点(图4(a))。藻胆蛋白在骨架上组装成杆,最终使得藻胆体如同天线(antenna)或一把始终张开着的伞,每个伞骨(连接蛋白骨架)通过一点固着与伞柄结合,支撑着巨大伞面(藻胆蛋白)来收集光子,并将太阳能高效传递至伞柄(核)。

另外还有4个杆(Rg、Rf、Rg'、Rf')不直接与核结合,而是通过杆连接蛋白 L_R2/L_R3 结合到其他杆

上,例如杆Rg通过 L_R 2与Rb结合,杆Rf通过 L_R 3与Rc结合(图2(e))。在红藻藻胆体中还有单独的PE六聚体,例如Ha-He、Ha'-He'通过杆连接蛋白与其他杆连接(图2(e))。这些组分的存在可能有利于增大捕光面积并维持藻胆体的结构稳定性。

在红藻藻胆体中发现一组新的核杆连接蛋白($L_{RC}4$ 、 $L_{RC}5$ 和 $L_{RC}6$),蛋白中间部分为一个 α 螺旋或FAS1结构域,两侧有很长的loop(图1(b)和4(a))。中间结构域与核结合,而两侧loop类似束带,与核和周围的杆具有广泛的相互作用,因此可以稳定藻胆体的完整组装。

3 色素的蛋白质环境分析

能量从高能级藻胆蛋白传递至相对低能级的

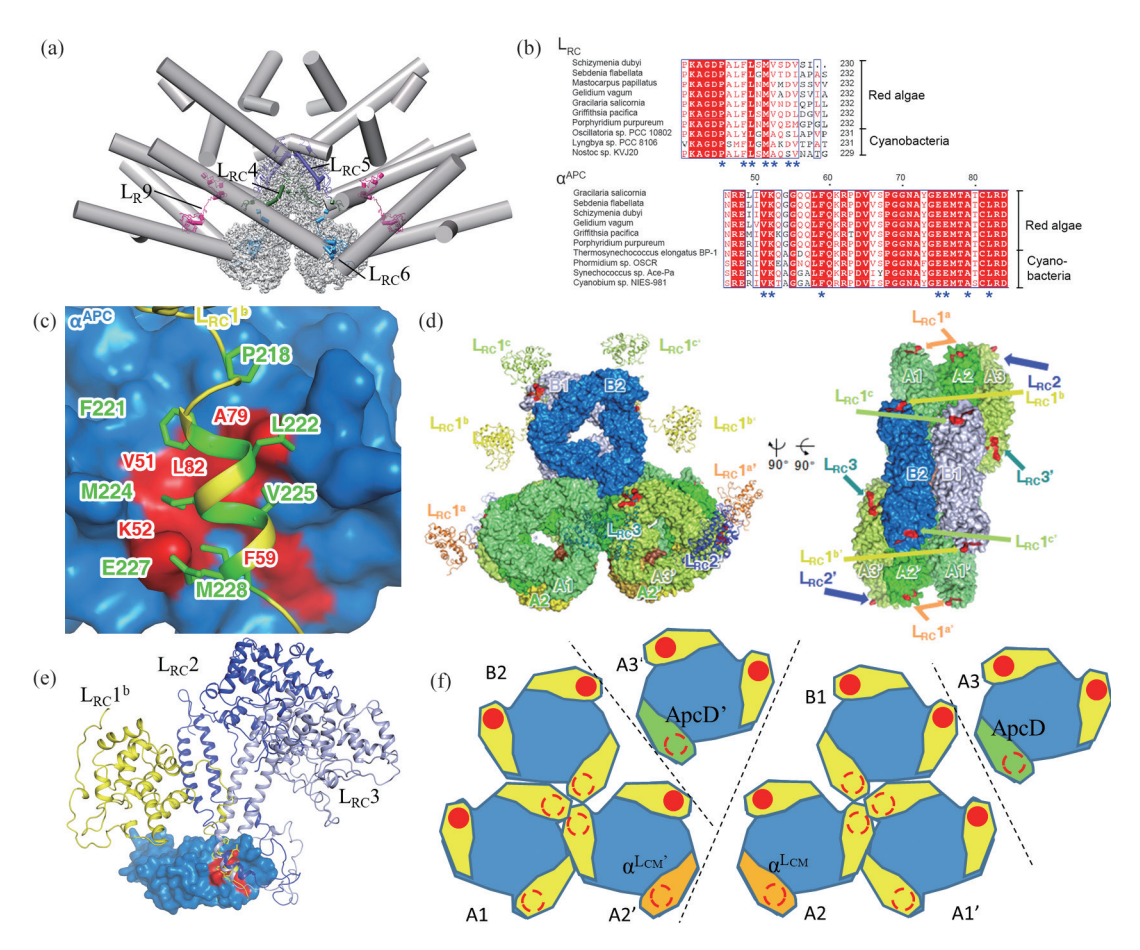


图4 藻胆体的核杆组装。(a) G. pacifica的杆与核的连接。核显示为灰色的表面,灰色圆柱表示杆连接蛋白形成的骨架,带 颜色突出显示 L_R 9和 L_{RC} 4-6对杆之间、核与杆之间的稳定作用。(b)红藻和蓝藻中 L_{RC} 1及 $lpha^{APC}$ 序列比对图(http://espript.ibcp. fr/ESPript/cgi-bin/ESPript.cgi)。相互作用的保守氨基酸位点标记为* (图修改自[8])。(c)核B2的α^{APC}形成的凹槽与L_{RC}1^b的 $C末端 \alpha 螺旋之间的相互作用。发生相互作用的保守氨基酸位点已标识(图修改自[28])。(d)藻胆体核表面 <math>\alpha^{APC}$ 形成的12个 凹槽与10个 L_{RC} 结合;左右图分别为正面观和顶面观, α^{APC} 与 L_{RC} 结合的凹槽显示为红色表面;除了 L_{RC} 1^a 与两个 α^{APC} 凹槽 结合之外,其他 L_{RC} 各结合一个 α^{APC} 凹槽(图修改自[28])。(e) $L_{RC}1^b$ 、 $L_{RC}2$ 、 $L_{RC}3$ 与 α^{APC} 的结合界面,以 α^{APC} 进行整体的结 构匹配; $3 \cap L_{RC}$ 虽然分别处于不同走向,但结合界面处 L_{RC} 的结构和序列基本保守。(f)分层显示(d)右图中藻胆体核表 面与 L_{PC} 结合情况。每个蓝色圆盘为一个APC三聚体; α^{APC} 显示为黄色多边形, α^{APC} 上的保守凹槽用红圈表示,其中具备 结合LRC能力的显示为实心红圈,不具备结合LRC能力的显示为空心红圈

藻胆蛋白, 再传递到反应中心的叶绿素, 这一过 程是通过色素-色素、色素-蛋白之间的相互作用 来实现的^[9], 其能量传递效率高于95%^[6,11,44]。

如果天线蛋白中只结合一个色素,那么该 色素的能量状态由于吸收光子而被激发, 处于激 发态的色素基团最终以非辐射方式或通过辐射方 式(荧光发射)返回到基态。如果天线蛋白结合两 种具有不同吸收特性的色素, 当两个色素基团 之间的距离很近时,如小于5 nm,根据Förster理

论,激发态的能量以共振能量转移的方式从高向 低传递,例如从PEB(供体)向PCB(受体)传递。 如果天线蛋白结合两个同种色素, 而蛋白质环境 导致两个色素的吸收特性发生变化,则一个是供 体,另一个是受体[7,45-47]。氨基酸与色素之间的 相互作用包括静电、疏水相互作用和π-π相互作 用等[48-49]。在藻胆蛋白同一个三聚体中,相对位 置一样的色素处于相同的蛋白质环境中, 而在完 整的藻胆体中,连接蛋白的存在会对同一个三聚 体中的不同色素产生不同的影响。其中,连接蛋白芳香族残基的π电子与色素π电子之间的相互作用对于调节色素基团的能量状态非常重要^[28]。

3.1 杆中色素的蛋白质环境分析

如前所述,在红藻中藻胆体type I的杆中有两种藻胆蛋白三聚体(PE、PC)和三种连接蛋白 $(L_R\gamma, L_R D L_{RC})$ 。考虑到藻胆蛋白亚基的同源性,接下来我们以type I型的杆Rc为例,讨论藻胆体杆内的能量传递途径。

连接蛋白对藻胆蛋白色素能级的影响可以 分为两种方式。首先,连接蛋白中的氨基酸调 节藻胆蛋白色素能级。例如,在Rc(图5(a))的 PC-I三聚体内,连接蛋白 $L_{\rm RC}$ 1°的H58与 β_2 ⁸²具有 π-π相互作用,最小距离为2.8 Å,属于强的相 互作用; $L_{RC}1^{\circ}-Y104$ 与 $β_1^{82}$ 具有π-π相互作用, 但 距离为4.3 Å, 因此相互作用较前者弱一些; 但 是没有芳族氨基酸残基与β,82相互作用。因此, 由于连接蛋白 L_{RC} 的影响, β_2^{82} 在这三个色素中 可能处于最低的能量状态(图5(b))。由于PC-I 三聚体直接与核衔接,在整个PC-I三聚体中, β₂82可能是光收集和能量从杆传递至核的关键 位点,我们称之为中转站色素。同理,在Rc的 PE-I三聚体内, L_By4的三个芳香族残基(F139、 F80和F124)分别与PE-I三聚体的β,⁸²、β,⁸²和β,⁸² 具有较强的π-π相互作用,这说明L_Rγ4有助于稳 定β⁸²,从而使三个β⁸²的能级降低(图5(c)),这与 L_{RC}对PC三聚体的影响相似。其次,连接蛋白中 的色素也会对藻胆蛋白的色素能级产生影响。 例如,连接蛋白L_Rγ4结合的PEB(γ_{LR γ 4}152)靠近 β₂⁸²,最近距离为2.9 Å,形成激子耦合效应,使 π电子在两个色素之间离域[23,50]。因此,与其他 β^{82} 相比, β_2^{82} 处于相对较低的能级。综上所述, 在整个PE三聚体I中,β⁸²可能是光收集和能量 传递的关键位点(图5(c))。

通过序列和结构比较发现,与色素相互作用的芳香族氨基酸在红藻和蓝藻中是相对保守的(图5(d)、(e)),说明其功能的重要性^[28]。总之,连接蛋白能够通过不同数量的芳香族氨基酸、不

同强度的相互作用及色素的位置调节藻胆蛋白内 色素的能级。

3.2 核中色素的蛋白质环境分析

在APC中,αβ亚基各结合一个PCB,分别为α⁸¹和β⁸¹。核B连接杆Rc/Rc′和Rb′/Rb,因此这部分杆吸收的能量可能首先传递给B。在B1中, L_{CM} 的F850位于^{B1}β₃⁸¹附近,距离为4.8 Å,因此,能量可能会经过^{B1}β₃⁸¹传递给更靠近核A的色素 B¹α₁⁸¹(图6(a))。

核A1中, $^{A1}\alpha_1^{81}$ 位置最接近核B,然后依次是 $^{A1}\beta_2^{81}$ 、 $^{A1}\beta_1^{81}$ 和 $^{A1}\beta_3^{81}$ 。 L_{CM} -F454与 $^{A1}\beta_1^{81}$ 相互作用, L_{CM} 的Y443、Y583和F610与 $^{A1}\beta_3^{81}$ 具有 π - π 相互作用,因此,在 L_{CM} 的影响下, $^{A1}\beta_3^{81}$ 的能级最低,其次是 $^{A1}\beta_1^{81}$ 和 $^{A1}\beta_2^{81}$ (图6(b))。

ApcF是核A2中特殊的β亚基,对于将能量 从藻胆体转移至PSII至关重要^[51-53]。在ApcF中, ApcF-F60、ApcF-R89、ApcF-Y93和ApcF-Y97 与^{A2}β_{ApcF}⁸⁷形成较强的 π - π 相互作用,从而降低其 能级。同时, α ^{LcM}中的氨基酸(V12、P14、L16、 L247、L249、F397、P401、C404和W407)在 A2β_{ApcF}⁸⁷周围形成一个疏水口袋,从而使^{A2}β_{ApcF}⁸⁷ 更加稳定(图6(c)、(e))。

核A3中也有一个特殊的 α 亚基ApcD,在藻胆体向PSI传递能量过程中具有重要作用 $^{[51-54]}$ 。 ApcD-W87、ApcD-F59、ApcD-Y65、ApcD-R83和核A3- β -Y73与 $^{A3}\alpha_{ApcD}^{81}$ 相互作用,这些氨基酸的存在会降低 $^{A3}\alpha_{ApcD}^{81}$ 的能级(图6(d))。

 α^{Lcm} 连接核与类囊体膜,其色素是藻胆体的末端能量受体。在 α^{Lcm} 中, α^{Lcm} -Y140和 α^{Lcm} -R144直接与 $^{\text{A2}}\alpha_{\text{Lcm}}^{\text{186}}$ 相互作用,尤其是 α^{Lcm} -Y140占据 $^{\text{A2}}\alpha_{\text{Lcm}}^{\text{186}}$ A环的位置,形成空间位阻,导致 $^{\text{A2}}\alpha_{\text{Lcm}}^{\text{186}}$ 的A环构象发生变化,使其ABCD环几乎处于同一平面上(图6(f)~(h))。色素分子的二面角与其能级有关,二面角越小,色素分子的四个吡咯环越接近同一平面,则能级越低 $^{\text{[24]}}$,因此在所有色素中 $^{\text{A2}}\alpha_{\text{Lcm}}^{\text{186}}$ 处于能量最低的状态。

综上所述,在核中,连接蛋白也发挥 了调节色素能级的作用,特别α^{Lcm}-Y140和

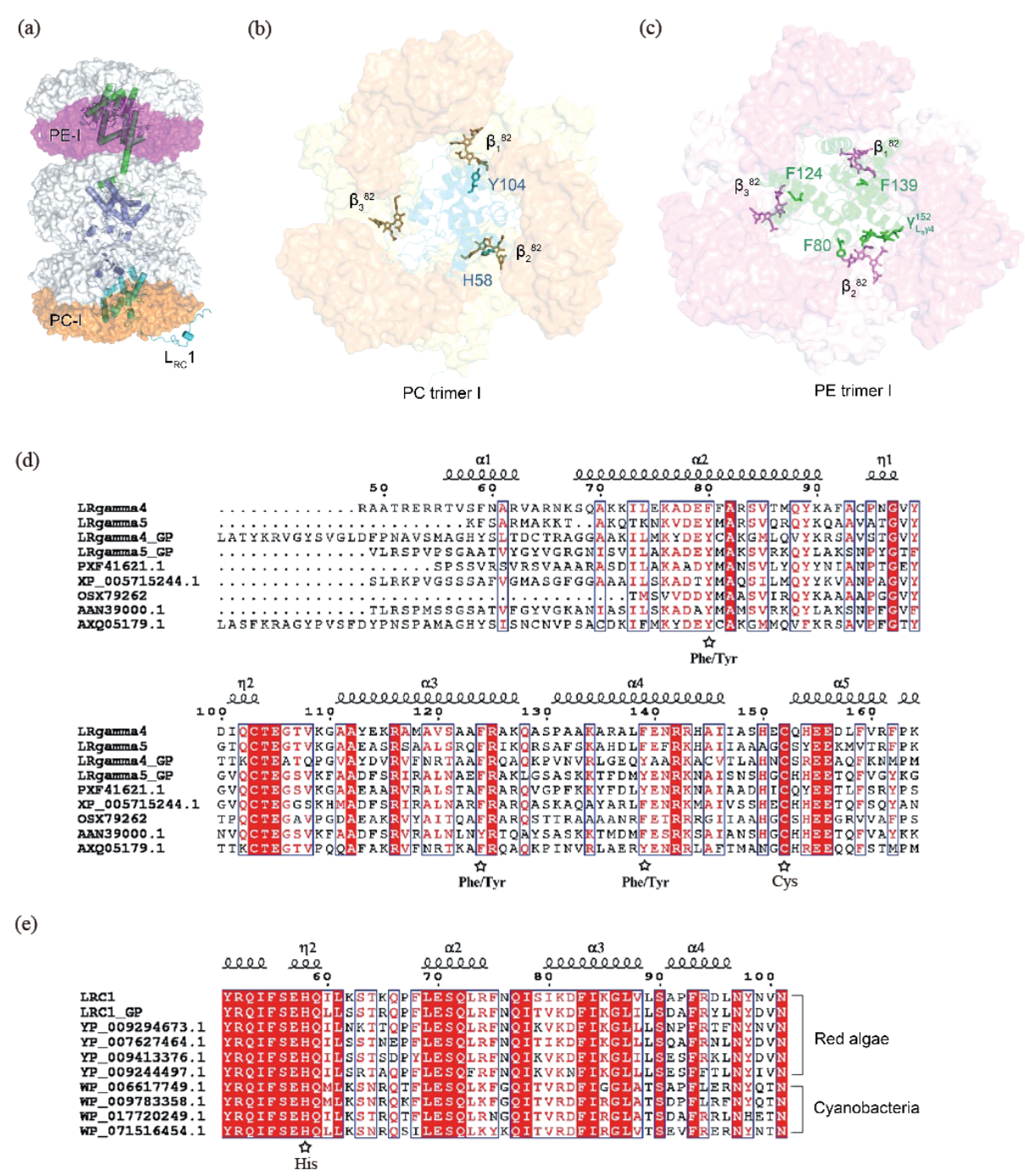


图5 P. purpureum藻胆体杆中的连接蛋白及其对杆中色素能级的影响。(a)杆Re的整体结构,图中标记了PC三聚体I (PC-I)和PE 三聚体I(PE-I)的位置;(b)连接蛋白 L_{RC} 对PC-I的影响;(c)连接蛋白 L_{RY} 4对PE-I的影响;(d) P. purpureum藻胆体中 L_{RY} 4-5与其他红藻 γ 亚基序列对比图;(e) P. purpureum 藻胆体中 L_{RC} 1与其他物种中的 L_{RC} 1的序列对比图。图(d)和(e)中与色素相互作用的芳香族氨基酸标记为星号。图引自[28],图中氨基酸及色素颜色:蓝绿色, L_{RC} :绿色, L_{RY} 4(PDB: 6kgx)

 α^{Lcm} -R144,不仅通过 π - π 相互作用影响 $^{\text{A2}}\alpha_{\text{Lcm}}^{\quad \ \ \, 186}$ 色素的 π 电子状态,同时还通过空间位阻效应影响 $^{\text{A2}}\alpha_{\text{Lcm}}^{\quad \ \ \, 186}$ 色素的平面构象,致使 $^{\text{A2}}\alpha_{\text{Lcm}}^{\quad \ \ \, 186}$ 色素成为整个藻胆体的能级最低的末端能量受体。

蛋白环境对色素的影响与藻胆体的能量传递的方向一致,即杆吸收的能量汇聚到核,然后传递给藻胆体末端能量受体,最后传递给光反应中心^[51,55]。

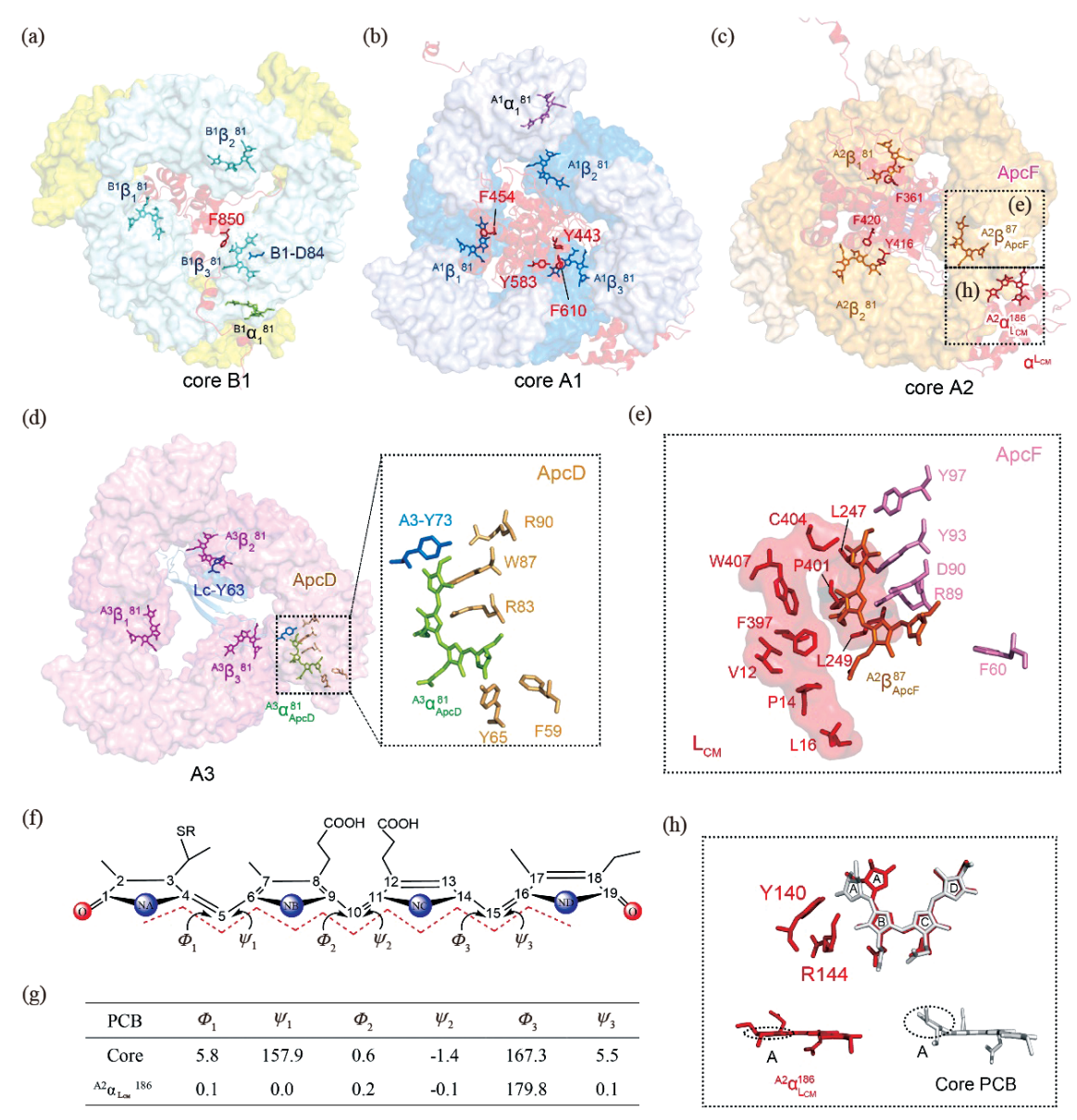


图6 红藻藻胆体核内色素的蛋白环境。(a)~(d)分别为核B1、A1、A2和A3中色素的蛋白环境。图中展示了各个APC三聚体从A1向A3方向的视图,三聚体的下方均为类囊体膜的方向,图中显示了位置特殊的 α_1^{81} 和所有 β^{81} 色素分子及与其相互作用的氨基酸残基。(e)与 A2 β_{ApcF}^{87} 相互作用的氨基酸及其周围的疏水"帽子"。(f)PCB色素分子二面角示意图,其中 Φ_1 、 Ψ_1 等分别代表NA-C(4)-C(5)-C(6)、C(4)-C(5)-C(6)-NB等平面之间的夹角。(g) A2 $\alpha_{L_{CM}}^{186}$ 与核PCB的二面角比较。(h) A2 $\alpha_{L_{CM}}^{186}$ (红色)与核PCB(灰色)之间的构象比较,从图中可以看出 A2 $\alpha_{L_{CM}}^{186}$ A环的位置发生明显的变化(修改自[28])。氨基酸颜色:深蓝色,核B1;红色, L_{CM} ; 粉红色,ApcF;浅棕色,ApcD;蓝色,LC;浅蓝色,核A3(PDB: 6kgx)

4 结论和展望

红藻高分辨率的藻胆体结构,对于了解其结构组装及能量传递的机制具有非常重要的意义。藻胆蛋白(αβ)₃三聚体是藻胆体的基本结构单位,通过连接蛋白组装成杆和核,并进一步组装

成完整的藻胆体,组装过程涉及藻胆蛋白与连接蛋白、藻胆蛋白与藻胆蛋白,以及连接蛋白与连接蛋白之间的相互作用。在完整的藻胆体结构中,所有的连接蛋白均参与骨架的构建(G. pacifica中72个,P. purpureum中60个),如图2(d) 所示。另外,连接蛋白在藻胆体的能量传递中可

能发挥着关键的调节作用。在杆中,连接蛋白 通过提供不同数量的芳香族氨基酸侧链π电子, 或通过自身结合的色素(L_Rγ)与藻胆蛋白内的色 素相互作用,调节β亚基中色素的能级,有利于 能量在杆中高效传递。在核中,连接蛋白也具 有微调APC中色素能量的作用。核中特殊的亚基 ApcF、α^{Lcm}和ApcD, 其色素能级均受到连接蛋 白的调节,尤其是α^{LcM}亚基中色素的特殊构象, 在藻胆体向光系统传递能量过程中起到非常重要 的作用。

藻胆体中存在大量的色素,这些色素基团 是能量接收和传递的载体。分析色素的构象是了 解藻胆体能量传递的结构基础,但受分辨率限 制,仍有许多色素的精确构象是未知的,因此, 需要继续提高藻胆体的结构分辨率。另外,在 结构的基础上,可能需要更多的实验来验证关键 氨基酸或色素的功能及其在生理状态下的动态变 化。例如,采用分子生物学技术,在结构的指导 下对关键基团进行突变,结合光谱学功能分析揭 示能量传递的途径。藻胆体作为蓝藻和红藻中的 主要捕光天线, 其主要功能是向反应中心传递能 量,虽然之前报道了藻胆体与PSII和/或PSI结合 的复合体[27,56-57], 但是目前还难以用于分析藻胆 体如何向光系统传递能量。考虑到水溶性藻胆体 和膜蛋白的性质差异大,难以分离纯化,需要考 虑采用其他实验技术来原位研究超级复合体结 构, 例如冷冻电子断层扫描技术等。

随着化石燃料逐渐匮乏及其燃烧造成的温 室效应等环境问题的出现,如何直接利用太阳 能这一可持续能源引发更多关注[58]。其中一个方 向是,模拟自然界已存在数亿年的光合作用相 关蛋白,设计更简洁高效的光能器件用以捕获 和利用太阳能,称作人工模拟光合作用(artificial photosynthesis)[59]。染料敏化太阳能电池(dyesensitized solar cell, DSSC)利用染料作敏化剂, 增加钛、钙、锌的氧化物等半导体对可见光区的 吸收,其制作工艺简单,成本低,效率提高的 潜力大[60]。藻胆体作为水溶性的色素-蛋白复合 体,能量传递效率高,尤其是红藻藻胆体对深水 区蓝绿光具有较强吸收能力, 因此藻胆体可以作

为光学敏化材料,同时其精细结构可以指导我们 设计更高效、长寿命、低成本的光电转换器件。 若将该器件铺设到海底,可以开发利用广阔海域 的更多太阳能。

(2021年4月6日收稿)



参考文献

- [1] CROCE R, VAN AMERONGEN H. Natural strategies for photosynthetic light harvesting [J]. Nature Chemical Biology, 2014, 10: 492-501.
- [2] 匡廷云, 李良璧, 汪力. 光合作用原初光能转化过程的原理与调 控[M]. 南京: 江苏科学技术出版社, 2003: 3-4.
- [3] GREEN B R. What happened to the phycobilisome? [J]. Biomolecules, 2019, 9: 748.
- [4] MACCOLL R. Cyanobacterial phycobilisomes [J]. Journal of Structural Biology, 1998, 124: 311-334.
- [5] ADIR N. Elucidation of the molecular structures of components of the phycobilisome: reconstructing a giant [J]. Photosynthesis Research, 2005, 85: 15-32.
- [6] SIDLER W A. Phycobilisome and phycobiliprotein structures [M]// BRYANT D A. The Molecular Biology of Cyanobacteria. The Netherlands: Kluwer Academic Publishers, 1994: 139-216.
- [7] BRYANT D A, CANNIFFE D P. How nature designs lightharvesting antenna systems: design principles and functional realization in chlorophototrophic prokaryotes [J]. Journal of Physics B: Atomic, Molecular and Optical Physics, 2018, 51: 033001.
- [8] ZHANG J, MA J, LIU D, et al. Structure of phycobilisome from the red alga Griffithsia pacifica [J]. Nature, 2017, 551: 57-63.
- [9] WATANABE M, IKEUCHI M. Phycobilisome: architecture of a light-harvesting supercomplex [J]. Photosynthesis Research, 2013,
- [10] SAER R G, BLANKENSHIP R E. Light harvesting in phototrophic bacteria: structure and function [J]. The Biochemical Journal, 2017, 474: 2107-2131.
- [11] MULLINEAUX C W. Phycobilisome-reaction centre interaction in cyanobacteria [J]. Photosynthesis Research, 2008, 95: 175-182.
- [12] LI W, SU H N, PU Y, et al. Phycobiliproteins: molecular structure, production, applications, and prospects [J]. Biotechnology Advances, 2019, 37: 340-353.
- [13] GANTT E, CONTI S F. The ultrastructure of Porphyridium cruentum [J]. The Journal of Cell Biology, 1965, 26: 365-381.
- [14] GANTT E, CONTI S F. Granules associated with the chloroplast lamellae of Porphyridium cruentum [J]. The Journal of Cell Biology, 1966, 29: 423-434.
- [15] GANTT E, LIPSCHULTZ C A. Phycobilisomes of Porphyridium cruentum. I. Isolation [J]. The Journal of Cell Biology, 1972, 54:

- 313-324.
- [16] ARTENI A A, AJLANI G, BOEKEMA E J. Structural organisation of phycobilisomes from *Synechocystis* sp. strain PCC6803 and their interaction with the membrane [J]. Biochimica et Biophysica Acta, 2009, 1787: 272-279.
- [17] ARTENI A A, LIU L N, AARTSMA T J, et al. Structure and organization of phycobilisomes on membranes of the red alga Porphyridium cruentum [J]. Photosynthesis Research, 2008, 95: 169-174.
- [18] GANTT E, LIPSCHULTZ C A. Structure and phycobiliprotein composition of phycobilisomes from *Griffithsia pacifica* (Rhodophyceae) [J]. Journal of Phycology, 1980, 16: 394-398.
- [19] GUGLIELMI G, COHEN-BAZIRE G, BRYANT D A. The structure of *Gloeobacter violaceus* and its phycobilisomes [J]. Archives of Microbiology, 1981, 129: 181-189.
- [20] HU Q, MARQUARDT J, IWASAKI I, et al. Molecular structure, localization and function of biliproteins in the chlorophyll a/ d containing oxygenic photosynthetic prokaryote Acaryochloris marina [J]. Biochimica et Biophysica Acta, 1999, 1412: 250-261.
- [21] MARQUARDT J, SENGER H, MIYASHITA H, et al. Isolation and characterization of biliprotein aggregates from *Acaryochloris* marina, a prochloron-like prokaryote containing mainly chlorophyll d [J]. FEBS Letters, 1997, 410: 428-432.
- [22] 林瀚智. 藻胆体结构多样性研究及黄海绿潮早期形成过程分析 [D]. 青岛: 中国科学院研究生院(海洋研究所), 2012.
- [23] JIANG T, ZHANG J P, CHANG W R, et al. Crystal structure of R-phycocyanin and possible energy transfer pathways in the phycobilisome [J]. Biophysical Journal, 2001, 81(2): 1171-1179.
- [24] JIANG T, ZHANG J, LIANG D. Structure and function of chromophores in R-phycoerythrin at 1.9 Å resolution [J]. Proteins, 1999, 34(2): 224-231.
- [25] GAO X, ZHANG N, WEI T D, et al. Crystal structure of the N-terminal domain of linker L(R) and the assembly of cyanobacterial phycobilisome rods [J]. Molecular Microbiology, 2011, 82: 698-705.
- [26] YI Z W, HUANG H, KUANG T Y, et al. Three-dimensional architecture of phycobilisomes from *Nostoc flagelliforme* revealed by single particle electron microscopy [J]. FEBS Letters, 2005, 579: 3569-3573.
- [27] CHANG L, LIU X, LI Y, et al. Structural organization of an intact phycobilisome and its association with photosystem II [J]. Cell Research, 2015, 25: 726-737.
- [28] MA J, YOU X, SUN S, et al. Structural basis of energy transfer in Porphyridium purpureum phycobilisome [J]. Nature, 2020, 579: 146-151.
- [29] SCHIRMER T, HUBER R, SCHNEIDER M, et al. Crystal structure analysis and refinement at 2.5 Å of hexameric C-phycocyanin from the cyanobacterium Agmenellum quadruplicatum. The molecular model and its implications for light-harvesting [J]. Journal of Molecular Biology, 1986, 188: 651-676.

- [30] MACCOLL R. Allophycocyanin and energy transfer [J]. Biochimica et Biophysica Acta, 2004, 1657: 73-81.
- [31] GROSSMAN A R, SCHAEFER M R, CHIANG G G, et al. The phycobilisome, a light-harvesting complex responsive to environmental conditions [J]. Microbiological Reviews, 1993, 57: 725-749.
- [32] LI H, SHERMAN L A. Characterization of *Synechocystis* sp. strain PCC 6803 and deltanbl mutants under nitrogen-deficient conditions [J]. Archives of Microbiology, 2002, 178: 256-266.
- [33] GLAZER A N. Phycobilisomes: structure and dynamics [J]. Annual Review of Microbiology, 1982, 36: 173-198.
- [34] SIX C, THOMAS J C, THION L, et al. Two novel phycocrythrinassociated linker proteins in the marine cyanobacterium Synechococcus sp. strain WH8102 [J]. Journal of Bacteriology, 2005, 187: 1685-1694.
- [35] ANDERSON L K, TOOLE C M. A model for early events in the assembly pathway of cyanobacterial phycobilisomes [J]. Molecular Microbiology, 1998, 30: 467-474.
- [36] SCHIRMER T, BODE W, HUBER R. Refined three-dimensional structures of two cyanobacterial C-phycocyanins at 2.1 and 2.5 Å resolution. A common principle of phycobilin-protein interaction [J]. Journal of Molecular Biology, 1987, 196: 677-695.
- [37] LUNDELL D J, GLAZER A N. Molecular architecture of a light-harvesting antenna. Core substructure in *Synechococcus* 6301 phycobilisomes: two new allophycocyanin and allophycocyanin B complexes [J]. The Journal of Biological Chemistry, 1983, 258(2): 902-908.
- [38] GAO X, WEI T D, ZHANG N, et al. Molecular insights into the terminal energy acceptor in cyanobacterial phycobilisome [J]. Molecular Microbiology, 2012, 85(5): 907-915.
- [39] JALLET D, GWIZDALA M, KIRILOVSKY D. ApcD, ApcF and ApcE are not required for the orange carotenoid protein related phycobilisome fluorescence quenching in the cyanobacterium Synechocystis PCC 6803 [J]. Biochimica et Biophysica Acta, 2012, 1817: 1418-1427.
- [40] GUAN X, QIN S, ZHAO F, et al. Phycobilisomes linker family in cyanobacterial genomes: divergence and evolution [J]. International Journal of Biological Sciences, 2007, 3: 434-445.
- [41] MCGREGOR A, KLARTAG M, DAVID L, et al. Allophycocyanin trimer stability and functionality are primarily due to polar enhanced hydrophobicity of the phycocyanobilin binding pocket [J]. Journal of Molecular Biology, 2008, 384: 406-421.
- [42] LIU L N, CHEN X L, ZHANG Y Z, et al. Characterization, structure and function of linker polypeptides in phycobilisomes of cyanobacteria and red algae: an overview [J]. Biochimica et Biophysica Acta, 2005, 1708: 133-142.
- [43] PARBEL A, SCHEER H. Model for the phycobilisome rod with interlocking disks based on domain-weighted linker-polypeptide sequence homologies of *Mastigocladus laminosus* [J]. International Journal of Photoenergy, 2000, 2: 31-40.

- [44] ONISHI A, AIKAWA S, KONDO A, et al. Energy transfer in Anabaena variabilis filaments under nitrogen depletion, studied by time-resolved fluorescence [J]. Photosynthesis Research, 2015, 125: 191-199.
- [45] FÖRSTER T. Zwischenmolecculare energiewanderung und fluoreszenz [J]. Annals of Physics, 1948, 2: 55-75.
- [46] FÖRSTER T. Transfer mechanisms of electronic excitation energy
 [J]. Radiation Research Supplement, 1960, 2: 326-339.
- [47] FÖRSTER T. Delocalized excitation and excitation transfer [M]// SINANOGLU O. Modern Quantum Chemistry, Istanbul Lectures. New York: Academic Press, 1965: 93-137.
- [48] SINNOKROT M O, VALEEV E F, SHERRILL C D. Estimates of the ab initio limit for pi-pi interactions: the benzene dimer [J]. Journal of the American Chemical Society, 2002, 124(36): 10887-10893.
- [49] ANIGHORO A. Underappreciated chemical interactions in proteinligand complexes [J]. Methods in Molecular Biology, 2020, 2114: 75-86.
- [50] MCLEAN T M, TELFER S G, ELLIOTT A B, et al. Molecular excitons in a copper azadipyrrin complex [J]. Dalton Transactions, 2014, 43(47): 17746-17753.
- [51] ASHBY M K, MULLINEAUX C W. The role of ApcD and ApcF in energy transfer from phycobilisomes to PSI and PSII in a cyanobacterium [J]. Photosynthesis Research, 1999, 61: 169-179.
- [52] CALZADILLA P I, MUZZOPAPPA F, SETIF D, et al. Different roles for ApcD and ApcF in Synechococcus elongatus and Synechocystis sp. PCC 6803 phycobilisomes [J]. Biochimica et Biophysica Acta Bioenergetics, 2019, 1860(6): 488-498.

- [53] KUZMINOV F I, BOLYCHEVTSEVA Y V, ELANSKAYA I V, et al. Effect of APCD and APCF subunits depletion on phycobilisome fluorescence of the cyanobacterium *Synechocystis* PCC 6803 [J]. Journal of Photochemistry and Photobiology B: Biology, 2014, 133: 153-160.
- [54] DONG C, TANG A, ZHAO J, et al. ApcD is necessary for efficient energy transfer from phycobilisomes to photosystem I and helps to prevent photoinhibition in the cyanobacterium *Synechococcus* sp. PCC 7002 [J]. Biochimica et Biophysica Acta, 2009, 1787(9): 1122-1128.
- [55] GANTT E. Structure and function of phycobilisomes: light harvesting pigment complexes in red and blue-green algae [J]. International Review of Cytology, 1980, 66: 45-80.
- [56] LIU H, ZHANG, H, NIEDZWIEDZKI D M, et al. Phycobilisomes supply excitations to both photosystems in a megacomplex in cyanobacteria [J]. Science, 2013, 342: 1104-1107.
- [57] WATANABE M, SEMCHONOK D A, WEBBER-BIRUNGI M T, et al. Attachment of phycobilisomes in an antenna-photosystem I supercomplex of cyanobacteria [J]. Proceedings of the National Academy of Sciences of the United States of America, 2014, 111(7): 2512-2517.
- [58] BARBER J. Photosynthetic energy conversion: natural and artificial [J]. Chemical Society Reviews, 2009, 38(1): 185-196.
- [59] BARBER J, TRAN P D. From natural to artificial photosynthesis [J]. Journal of the Royal Society, 2013, 10(81): 20120984.
- [60] O'REGAN B C, GRÄTZEL M. A low-cost, high-efficiency solar cell based on dye-sensitized colloidal ${\rm TiO_2}$ films [J]. Nature, 1991, 353(6346): 737-740.

Structures and key bilins of red algal phycobilisomes

XIAO Yanan^①, MA Jianfei^②, YOU Xin^②, SUI Senfang^{①②}

①School of Life Sciences, Southern University of Science and Technology, Shenzhen 518055, Guangdong Province, China; ②School of Life Sciences, Tsinghua University, Beijing 100084, China

Abstract Phycobilisomes are large water-soluble light-harvesting complexes in red algae and cyanobacteria, with the energy transfer efficiency higher than 95%. The high-resolution structures of phycobilisomes resolved so far are from the red algae *Griffithsia* pacifica and *Porphyridium purpureum*, providing important information of the overall structures of the phycobilisomes, especially the structures and functions of linker proteins. Furthermore, linker proteins regulate the energy state of chromophores in *Porphyridium* purpureum phycobilisome. In this review, we analyze the overall structures of red algal phycobilisomes and the microenvironments of key chromophores.

Key words phycobilisome, linker protein, chromophore, energy transfer, photosynthesis

(编辑: 段艳芳)